

توسيع عرض حزمة الانعكاسية العالية للمنطقة تحت الحمراء البعيدة: (2)

* هيفاء غازي رشيد

تاريخ قبول النشر ٢٠٠٤/٥/١٥

الخلاصة

تم توسيع عرض الانعكاسية العالية للمنطقة الطيفية تحت الحمراء البعيدة ($m = 14 - 8$) باعتماد ترتيب الكومتين الدورين ذات سمك بصري لا يساوي ربع طول موجة ومقارنتها مع نتائج الدراسات السابقة. استندت الدراسة الحالية على نظرية المصفوفة المميزة المعدلة ولسقوط الضوء قریب من العمودي على ترتيب متعدد الطبقات من مواد عازلة وبشكل اغشية رقيقة متباينة ومتناهية الخواص رسالت على الجرمانيوم كأساس. أوضحت النتائج ، ان الاختيار الامثل للكومات وموقعها يؤدي الى توسيع عرض حزمة الانعكاسية العالية وهو اسهل بكثير للمنطقة تحت الحمراء منه للمنطقة المرئية، اضافة الى ان ترتيب هذه الكومات يعد حجر الاساس لمرشحات بصريه اخرى.

المقدمة

$\lambda_0 / \lambda = \text{والعدد الموجي النسبي (Relative wave number)}$ ، m - رتبة التداخل. درست مشكلة توسيع عرض الحزمة بطرائق شتى منها الطرائق التحليلية [2-6] واخرى عدديه [6]. ان اغلب هذه الطرائق تعتمد على التغير الطفيف في السمك البصري بدلا من التغير في معاملات انكسار المواد نظرا لمحدودية توفير نظرا لمحدودية توفير المعاملات ضمن المنطقة الطيفية المطلوبة.

تنصف المرايا ذات الانعكاسية العالية والمصنوعة من مواد عازلة (All-dielectric mirrors Limited) بعرض حزمة محددة (bandwidth) مرتبة بشكل كومة ذات ربع طول موجة (Quarter-wave stack)، اي ، [1,2] :

Air [HIL]^S Substrate

حيث تشير S الى رتبة الدورية الاساس (Order of periodicity) ، $[HIL]$ الدورية . (Basic period of stack) الاساس للكومة . H ، I السمك البصري بربع طول موجة للطبقات ذات معامل انكسار العالي n_H والواطي n_I ويرتبط بسمك الطورة δ (Phase thickness) بالعلاقة [1,2] :

$$\delta_H = \delta_I = \frac{2\pi}{\lambda} n_H d_L = \frac{2\pi}{\lambda} n_H d_I$$

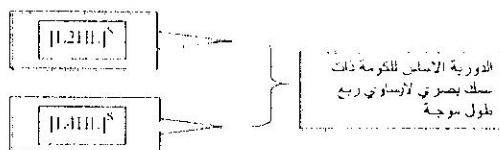
d_L ، d_I السمك الهندسي للطبقتين ذات معامل الانكسار العالي والواطي على الترتيب . ويحدد عرض الانعكاسية العالية بالعلاقة [1] :

$$\Delta g = \frac{2}{m\pi} \sin^{-1} \left[\frac{n_H / n_L - 1}{n_H / n_L + 1} \right]$$

دكتوراه-أستاذ مساعد-كلية التربية-قسم الفيزياء-الجامعة المستنصرية

النموذج التحليلي

لفرض توسيع حزمة الانعكاسية العالية ، فاننا اعتمدنا الكومة ذات الترتيب (pqp) وللنوعين :



وباعتاد كتابة الترتيب الدوري للكومة S^L فإن ،
 $L2H L \quad L2H L \quad L2HL \quad L2HL \dots$
 $L2HL \quad L2HL \quad L2HL \quad L2HL \dots$

وبجمع الطبقات ذات السمك L ،
 $L2H 2L \quad 2L \quad 2L \quad 2L \quad 2L \dots$
 $2L \quad 2L \quad 2L \quad 2L \quad 2L \dots$

وبدلالة الدورية الأساس للمرآيا ذات الانعكاسية العالية ، فإن الترتيب (1) يمكن التعبير عنه ،
 $[L2HL]^S \rightarrow [L3H]^S [H3L]^S$

وهو ترتيب كومتين دورياتين ذات سمك رباع طول موجة متعاكسين وهي أساس عمل مرشح فليري-بيرو (Fabry-Perot filter) [6,7] .

النتائج والمناقشة

تم دراسة توسيع حزمة الانعكاسية العالية للمنطقة الطيفية (8-14 μm) معتمدين على نظرية المصفوفة المميزة المعدلة لحالة السقوط القريب من العمودي ولمادتي Ge و BaF₂ كاساس . رسبت الطبقات بالتعاقب ضمن ترتيب الكومات الدوري ذات سمك بصري لايساوي رباع طول موجة ، أي ،

$$[L2HL]^S \\ [L4HL]^S$$

لخصت مواد الطلاء المستخدمة وسمكها البصري كما يلي :

دراسة ونوعها	Baumeister & Turner [2]	دراسة المقالة
نظرية	نظرية طبقة فكهة [2]	نظرية فكتورنة المميزة
التصميم	$[L2HL]^S$ $[L4HL]^S$	$[L2HL]^S$ $[L2HL]^S$ $[L4HL]^S$
معدلات الضرر	Stibnate 2.70	Ge 4.0
Low index n_L	Chiolate 1.35	Ge 4.0
High index n_H	BaF ₂ 1.45	Ge 4.0
Substrate index n_S		
Optical thickness	$n_H d_H / n_L d_L = c_s / 4$ $m_{\text{cas}} = 3.1$	$n_H d_H / n_L d_L = c_s / 4$ $m_{\text{cas}} = 3.1$

(Necessary & sufficient condition)
 لظهور الانعكاسية العالية للكومة ذات سمك رباع طول موجة لكل طبقة :

$$\text{Trace } M \geq 2$$

M هي مصفوفة الدورية الاساس لكومة .
 اما الدراسة المقدمة من قبل الباحثين (Baumeister & Turner) [2] ، فإنها تعد من الدراسات ذات الأهمية الشمولية ، فقد اعتمدوا طريقتين لتوسيع حزمة الانعكاسية العالية :

(1) ترتيب الكومات ذات الانعكاسية العالية
 Contiguous of high reflectance stacks)

وهما على نوعين :
 (a) ترتيب كومتين او اكثر على نفس الأرضية الأساس والتحكم بطول موجة التقسيم لكل كومة ،
 (b) ترتيب كومتين او اكثر على نفس الأرضية الأساس وبسمك لايساوي رباع طبل موجة .

(2) تراكب الكومات ذات الانعكاسية العالية

(Overlapping of high reflectance stacks)
 وكل كومة لغرض ازالة النهاية الصغرى للانعكاسية (Deep minimum reflectance) التي تظهر في الطيف الممتد للانعكاسية العالية .
 اعتمدت الحسابات على نظرية المصفوفة المميزة (Characteristic matrix theory) ونظرية الطبقة المكافئة [8,9] مستخددين الزجاج الاعتيادي و BaF₂ كارضيات اساس لمنطقى الطيف المرئي وتحت الحمراء و على التوالي .

الطرائق العددية

اجرت الباحثة (Rashid) [6] دراسة تفصيلية للتصميم الامثل للمرآيا ذات الانعكاسية العالية و عالجت مشكلة عرض العزمة المحدد الذي يرافق عادة المرآيا المكونة من مواد عازلة اضافة الى دراسة كيفية سطح (Flatness) قمة الانعكاسية العالية باعتماد الطرائق العددية المثلثي [10] .

تهدف الدراسة الحالية الى توسيع حزمة الانعكاسية العالية المكونة من مواد عازلة باعتماد طريقة (Baumeister & Turner) [2] ، الفقرة (1-b) في هذه الدراسة مستخدما نظرية المصفوفة المميزة المعدلة [6] اضافة الى اكمال الطريقة المقترحة سابقا [11,12] .

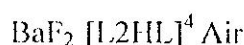
إضافية لازالة التشویش الحاصل في المنطقة و يقل التأثير لمادة الجرمانيوم ، الملاحظ ان التصميم الاول افضل من الثاني في توسيعه لمنطقة الانعكاسية العالية لمادتي الاساس BaF_2 و Ge كما موضح في الشكلين [2-B] و [2-D] .

الاستنتاجات

ما تقدم يمكن ان نستنتج مايلي :

- يمكن توسيع منطقة الانعكاسية العالية للمنطقة الطيفية ($14 \mu\text{m}$ - $8 \mu\text{m}$) باعتماد ترتيب الكومات الدورية ذات سمك لايساوي ربع طول موجة و تحديداً [1.2III] و [1.4III] وهي افضل من ترتيب الكوممة (2:1) و الترتيب المقترن في الدراسة السابقة [2,11] ، اذ ان عدد الطبقات والسمك البصري يكون اقل من الترتيبات الاخرى.
- ان موقع الترتيبين [1.2III] و [1.4III] في الدورية الاساس يوثر على قيمة و عوض عن حزمة الانعكاسية العالية.
- يصلح هذا النوع من الترتيبات كحجر اساس لمرشح حافية واخر لامرار حزمة عريضة.

تطلب الدراسة او لا اجراء مقارنة النتائج النظرية للدراسة الحالية مع النتائج العملية [2] ولمادة BaF_2 كاساس كما موضح في الشكلين (1-A,C) . الاشكال تبين ان التصميم :



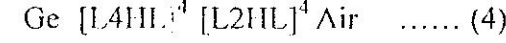
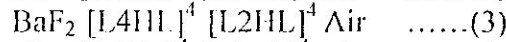
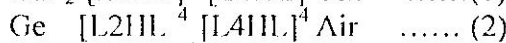
يظهر انعكاسية عالية ضمن المنطقة ($5-8 \mu\text{m}$) وبعرض حزمة $3.0\text{Mm} \sim$ ،اما المنطقتين ($2.2-5.0 \mu\text{m}$) و ($7-14 \mu\text{m}$) فانهما تصلحان كمرشح حافي لامرار الاطوال الموجي القصيرة والطويلة وعلى التوالي او يصلح كمرشح امرار حزمة عريضة لمنطقة ($2.2-5.0 \mu\text{m}$) بعد ان يتم ازالة قمة الانعكاسية العالية التي تظهر عند الطول الموجي $2 \mu\text{m}$.

اما التصميم :

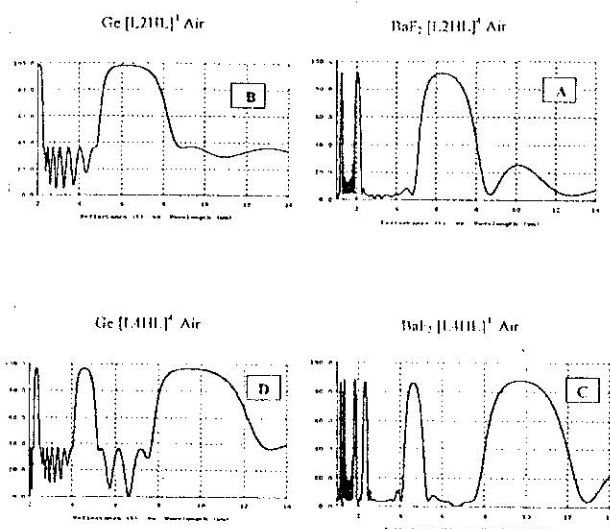


الموضح في الشكل (1-C) ، انه يوضح ان منطقة الانعكاسية العالية قد ازاحت باتجاه الاطوال الموجية الطويلة وتحديداً ($8-12\text{Mm}$) وبزيادة واضحة في عرض الحزمة $4.0 \mu\text{m} \sim$ ، اضافة الى ظهور قمة انعكاسية عالية عند طول موجة $4.5 \mu\text{m} \sim$ ومرشحات حافية او عريضة على جانبي الحزمة . اما الجرمانيوم كاساس [الشكلين (1-B,D)] وباستخدام مادتي ZnS و Ge فان سلوك الانعكاسية مقابل الطول الموجي يكاد يكون مماثلاً لمنحنيات BaF_2 . اما المنطقتين التي تعمل عمل مرشحات حافية فانها تتطلب ازالة القمم الثانوية والتي تظهر بسبب كون معامل انكسار الجرمانيوم اعلى من BaF_2 .

لعرض توسيع عرض حزمة الانعكاسية فقد تم ترتيب الكومتين [1.4III] و [1.2III] و اختيار موقعها الافضل على المدة الاساس ، فقد اعتمد التصميم :

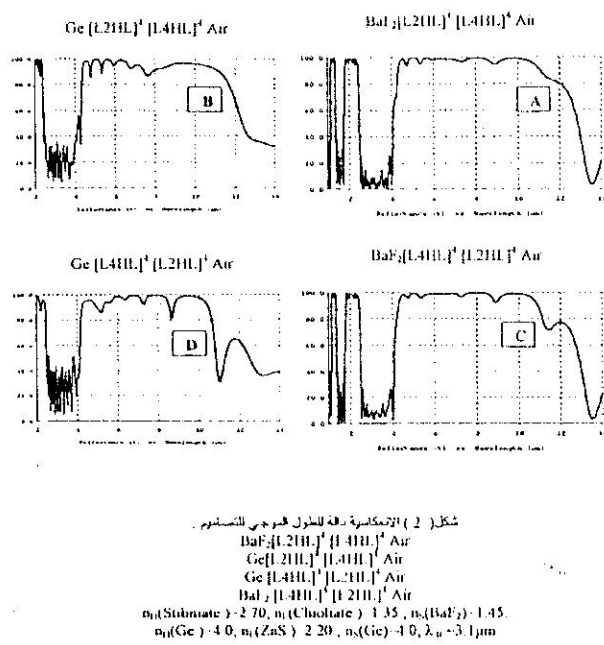


والموضح في الشكل [2] اذ ان اغلب الاطوال الموجية ضمن المنطقة ($8-14 \mu\text{m}$) تتعكس بطور واحد تقريباً مسبباً تداخلاً باء وزيادة في قيم الانعكاسية العالية . ان اختيار طول موجة التصميم والمواد المرسبة يلعب دوراً اساسياً فسي تسطح منطقة الانعكاسية العالية و تستلزم دراسة



شكل (1) الانعكاسية ذات الطول الموجي للتصاميم
 $\text{BaF}_2 [1.2\text{III}]^4 \text{ Air}$, $\text{Ge} [1.2\text{III}]^4 \text{ Air}$
 $\text{BaF}_2 [1.4\text{III}]^4 \text{ Air}$, $\text{Ge} [1.4\text{III}]^4 \text{ Air}$
 $n_d(\text{Stibnite}) = 2.70$, $n_d(\text{Chiolite}) = 1.35$, $n_d(\text{BaF}_2) = 1.45$,
 $n_d(\text{Ge}) = 4.0$, $n_d(\text{ZnS}) = 2.20$, $n_d(\text{Ge}) = 4.0$, $\lambda \text{ in } \mu\text{m}$

5. Abele's, F.,1950 , "Recherche' sur la propagation des ondes électromagnétiques sinusoidales dans les milieux stratifiés application aux couches minces , " Ann de Physique, Vol.5,PP.596-640.
6. Rashid, H.Gh.,1997," Design and Optimization of Thin -Film Optical Filters with Applications in Visible and Infrared Regions, Ph.D. Thesis , Al-Mustansiriyah University.
7. Macleod,H.A., 2001,Thin Film Optical Filters. Mc Graw-Hill company , New York.
8. Epstein,L.I , 1952," The design of optical filters , " J.Opt .Soc .Am.,Vol. 42, PP.806-10.
9. Thelen,A.J.,1966 , "Equivalent layers in multilayers filters ", J.Opt .Soc.Am. Vol.5,PP.1533-38.
10. Dobrowolski, J.A. ,and Kemp R.A. ,1990, "Refinement of optical multilayer systems with different optimization procedures , "Appl. Opt. ,Vol.29,PP.2876-93.
11. Baumeister, P.,1996."Multilayer reflectors with absent higher-order reflectance bands",Appl.Opt. , Vol .35,PP.4978-81.
12. Kim , S.H, and Hwangbo C.K.,2002,"Design of omnidirectional high reflectors with quarter-wave dielectric stacks for optical communication bands", Appl.Opt .,Vol.41,PP.3187-92.



REFERENCES

1. Driscoll,W.G.,and Vaughan W. , 1978, Handbook of Optics , Mc Graw - H.H, New York.
2. Turner , A.F. and Baumeister P.W.,1965, "Multilayer mirrors with high reflectance over an extended spectral region , " Appl.Opt. ,Vol.5,PP.69-76.
3. Penslein , L.I. , znd Stendel A., 1955 , " Fabry-Perot interferometrische Verspiegelungen aus dielektrischen vielfachseiten , " Z. Phys. , Vol.142,PP.21-41.
4. Heavers, O.S. ,and Liddell H.M .,1966, " Straggered broad-band reflecting multilayers , " Appl. Opt. Vol.5,PP.374-76.

EXTENSION OF HIGH REFLECTANCE BAND WIDTH FOR FAR INFRARED SPECTRAL REGION : (2)

HAIFA'A GH. RASHID

Assistance Professor-Physics Department-College of Education
Al-Mustansiryah University

ABSTRACT

Extension of high reflectance bandwidth for the spectral region ($8-14\mu\text{m}$) was studied adapting the concept of non-quarter wave contiguous stacks. Results were compared with previous studies and the computation was carried out using the modified characteristic matrix theory restricted to near-normal incidence of light on dielectric, homogenous and isotropic periodic stacks. Results illustrate that extended high reflectance band yield by the accurate selection of stacks and their sequences. Furthermore, such stacks may be considered as a building block for other types of optical filters.

Key words: Periodic Stack ,Contiguous stacks ,high reflectance mirrors, Optical filters